



Оценка пропускной способности стеганографических каналов передачи информации и возможности их обнаружения методом статистического анализа

**Бусыгин А.Г.
busygin@neo-bit.ru**

Классификация стеганографических каналов передачи информации



Генерация собственного трафика

- Активные
- Пассивные

Наличие шума в стеганографическом канале

- Зашумлённые
- Незашумлённые

Способ кодирования передаваемой информации

- Временные
- Туннелирующие
- Основанные на событиях

Оценка пропускной способности стеганографических каналов



Стеганографический канал	Класс	Оценка пропускной способности, Кбит/с
Поля заголовков IP и TCP	<ul style="list-style-type: none">АктивныйТуннелирующий	2
«NUSHU»	<ul style="list-style-type: none">ПассивныйТуннелирующий	0,03
«RSTEG»	<ul style="list-style-type: none">АктивныйТуннелирующий	1
Поля заголовков HTTP	<ul style="list-style-type: none">АктивныйТуннелирующий	256
«Infranet»	<ul style="list-style-type: none">АктивныйОсн. на событиях	256
DNS TTL	<ul style="list-style-type: none">АктивныйТуннелирующий	0,9
«SkypeMorph»	<ul style="list-style-type: none">АктивныйТуннелирующий	40

Противодействие стеганографическим каналам



Стеганографический канал	Способы противодействия
Поля заголовков IP и TCP	<ul style="list-style-type: none">• Обнаружение аномалий в распределении длин пакетов, размеров окон и проч.• Нормализация заголовков.
«NUSHU»	<ul style="list-style-type: none">• Обнаружение с помощью нейронной сети Элмана (не обнаруживается статистическими методами в силу случайности значений ISN).
«RSTEG»	<ul style="list-style-type: none">• Обнаружение аномалий в частоте возникновения повторных передач.
Поля заголовков HTTP	<ul style="list-style-type: none">• Нормализация заголовков.• Запрет нестандартных заголовков.• Проверка соответствия заголовков Set-Cookie/Cookie.
«Infranet»	<ul style="list-style-type: none">• (Не предложено общего подхода к обнаружению).
DNS TTL	<ul style="list-style-type: none">• Обнаружение аномалий в распределении значений поля TTL.
«SkypeMorph»	<ul style="list-style-type: none">• Возможна полная блокировка трафика Skype (не обнаруживается статистическими методами, поскольку мимикрирует под видео-трафик Skype).

Представление стеганографического канала основанного на событиях



Алфавит исходных (скрываемых) сообщений:

$$\mathbb{X} = \{x_1, x_2, \dots, x_{\#\mathbb{X}}\}, \#\mathbb{X} \geq 2.$$

Множество исходных сообщений длины s :

$$\mathbb{X}^s.$$

Множество событий несущего протокола:

$$\mathbb{C} = \{c_1, c_2, \dots, c_{\#\mathbb{C}}\}, \#\mathbb{C} \geq \#\mathbb{X}^s.$$

Алфавит несущего протокола:

$$\mathbb{Y} = \{y_1, y_2, \dots, y_{\#\mathbb{Y}}\}.$$

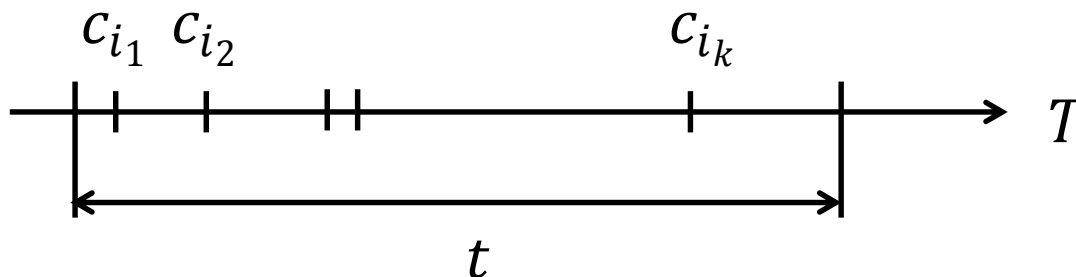
Кодирование исходных сообщений:

$$\psi\varphi, \quad \varphi: \mathbb{X}^s \rightarrow \mathbb{C}, \quad \psi: \mathbb{C} \rightarrow \mathbb{Y}^*.$$

Метод противодействия (1)



Рассматривается временной интервал длины t , в течение которого произошло k событий несущего протокола:



Вычисляется частота возникновения событий и средняя длина сообщения, используемого для представления события несущего протокола:

$$(\omega_{\mathbb{C}}, l): \quad \omega_{\mathbb{C}} = \frac{k}{t}, \quad l = \frac{\sum_{j=1}^k \text{len}(c_{i_j})}{k}.$$

Метод противодействия (2)



Задаётся минимальная пропускная способность поведенческого стеганографического канала:

$$\omega_{\mathbb{X}_{\min}}$$

Определяется максимально допустимая частота возникновения событий несущего протокола:

$$\omega_{\mathbb{C}_{\max}}$$

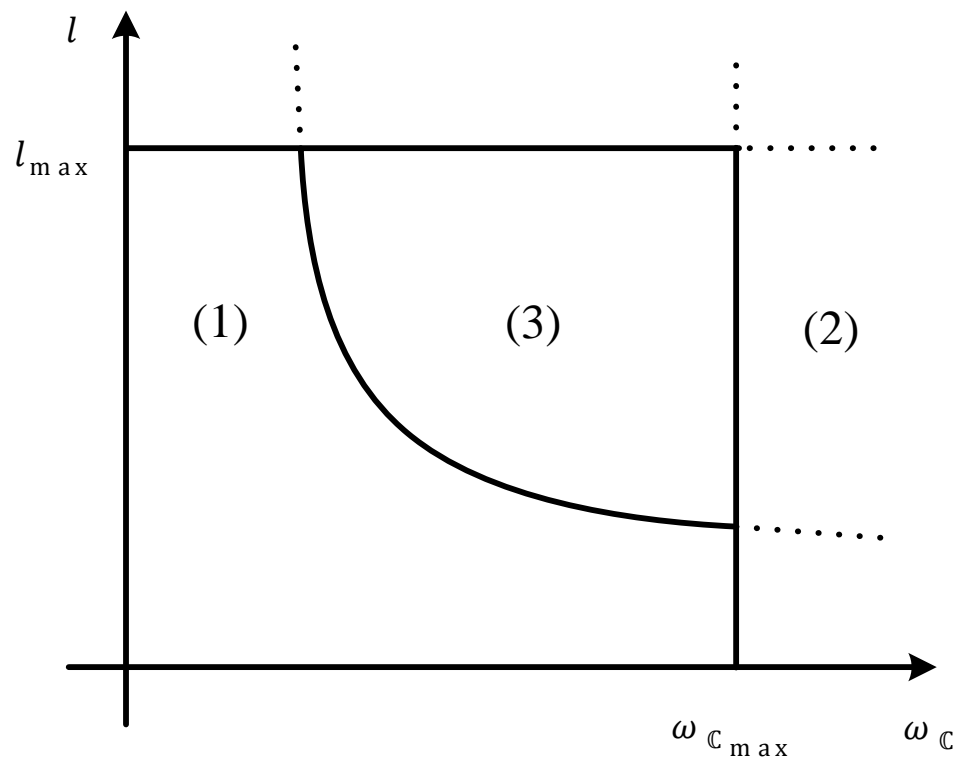
Определяется максимально допустимая длина сообщения несущего протокола:

$$l_{\max}$$

Определяется принадлежность пары $(\omega_{\mathbb{C}}, l)$ к одному из трёх множеств, определяемых следующей системой неравенств:

$$\left\{ \begin{array}{l} l \geq \frac{\omega_{\mathbb{X}_{\min}}}{\omega_{\mathbb{C}} \log_{\#\mathbb{X}} \#\mathbb{Y}} \\ l \leq l_{\max} \\ \omega_{\mathbb{C}} \leq \omega_{\mathbb{C}_{\max}} \end{array} \right. .$$

Графическое представление предложенного критерия обнаружения поведенческих стеганографических каналов



(1) Стеганографический канал отсутствует.

(2) Стеганографический канал существует.

(3) Стеганографический канал не обнаруживается данным методом.

- Выявлен класс стеганографических каналов передачи информации, обладающих высокой пропускной способностью и сложностью обнаружения.
- Предложен метод противодействия данному классу стеганографических каналов передачи информации.

